

133PSBZ

Požární spolehlivost betonových a zděných konstrukcí

Přednáška B5

ČVUT v Praze, Fakulta stavební
katedra betonových a zděných konstrukcí

Předpjatý beton

2. část - návrh předpětí

Obsah:

- Navrhování konstrukcí z předpjatého betonu - MSP
- Hodnoty předpínací síly
- Stádia vyšetřování předpjatých prvků
- Návrh předpínací síly a její výstřednosti
- Ekvivalentní zatížení od předpětí
- Přípustná zóna pro umístění předpínací výztuže
- Staticky neurčité konstrukce

Navrhování konstrukcí

- **Mezní stavy**
 - MSÚ - únosnost - vyčerpání únosnosti, zřícení kce
 - MSP - použitelnost - splnění provozních požadavků
- **Železobetonové konstrukce**
 - MSÚ - návrh rozměrů a vyztužení
 - MSP - kontrola použitelnosti
 - splnění konstrukčních požadavků
- **Předpjatý beton**
 - MSP - návrh rozměrů a předpínací síly
 - MSÚ - kontrola mezní únosnosti
 - splnění konstrukčních požadavků

Mezní stavy použitelnosti (MSP)

- Charakteristická kombinace

$$\sum_{j \geq 1} G_{k,j} \text{''+''} P \text{''+''} Q_{k,1} \text{''+''} \sum_{i > 1} \psi_{0,i} Q_{k,i}$$

- Častá kombinace

$$\sum_{j \geq 1} G_{k,j} \text{''+''} P \text{''+''} \psi_{1,1} Q_{k,1} \text{''+''} \sum_{i > 1} \psi_{2,i} Q_{k,i}$$

- Kvazi-stálá kombinace

$$\sum_{j \geq 1} G_{k,j} \text{''+''} P \text{''+''} \sum_{i \geq 1} \psi_{2,i} Q_{k,i}$$

G_k, Q_k - charakteristické hodnoty stálého a proměnného zatížení

Q_{k1} - dominantní hodnota proměnného zatížení

P - střední hodnota předpínací síly

MSP - (ČSN EN 1992-1-1)

a) Omezení napětí

▪ Beton

- tlakové napětí při charakteristické kombinaci zatížení

$$\sigma_c \leq 0,6 f_{ck}$$

($0,45 f_{ck} \leq \sigma_c \leq 0,6 f_{ck}$ - nelineární dotvarování)

- předem předpjaté prvky při transferu $\sigma_c \leq 0,7 f_{ck}$

▪ Výztuž

- tahové napětí při charakteristické kombinaci zatížení

$$\sigma_s \leq 0,8 f_{yk}$$

- včetně omezených deformací $\sigma_s \leq 1,0 f_{yk}$

▪ Předpjatý beton

- tahové napětí při charakteristické kombinaci zatížení

$$\sigma_p \leq 1,0 f_{pk}$$

MSP - (ČSN EN 1992-1-1)

b) Šířka trhlin

- Bez šířky trhlin $\sigma_c \leq f_{ctm}$
- Šířka trhlin $w \leq w_{max}$

Doporučené hodnoty w_{max} [mm] pro předpjaté prvky se soudržností

Stupeň prostředí	Častá kombinace
X0, XC1	0,2
XC2, XC3, XC4	0,2 ¹⁾
XD1, XD2, XS1 XS2, XS3, XS4	Dekomprese ²⁾

- 1) Pro tyto stupně prostředí je třeba posoudit dekompresi při kvazi-stálé kombinaci zatížení
- 2) Předpjatá výztuž musí být v tlačené oblasti průřezu

MSP - (ČSN EN 1992-1-1)

c) Kontrola přetvoření

- Průhyb při kvazi-stálé kombinaci zatížení $y_{\max} \leq L / 250$
- Průhyby, které mohou poškodit přilehlé části konstrukce (křehké příčky apod.) $y_{\max} \leq L / 500$

L ... rozpětí

Stádia vyšetřování předpjatých prvků

- **Stádium předpínání**

- po vnesení předpětí (transferu) působí:
 - předpínací síla P_{m0}
 - většinou pouze vlastní tíha (třída betonu při transferu)

- **Stádium provozní**

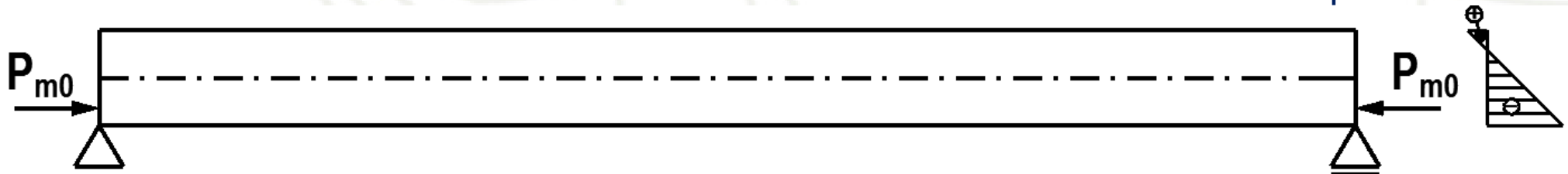
- předpínací síla po všech ztrátách
- působí:
 - předpínací síla $P_{m\infty}$
 - provozní zatížení v předepsané kombinaci (návrhová třída betonu)

Vyšetřování stádií předpjatého prvku

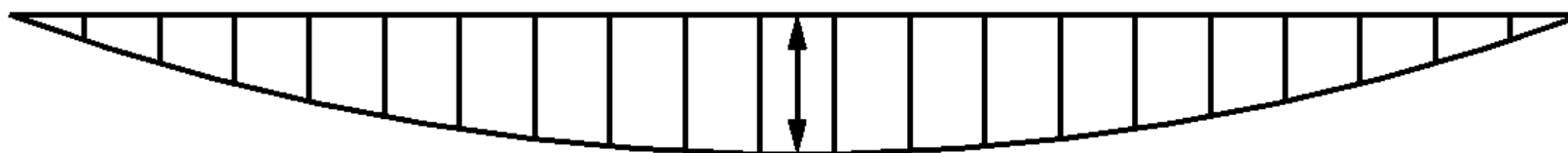
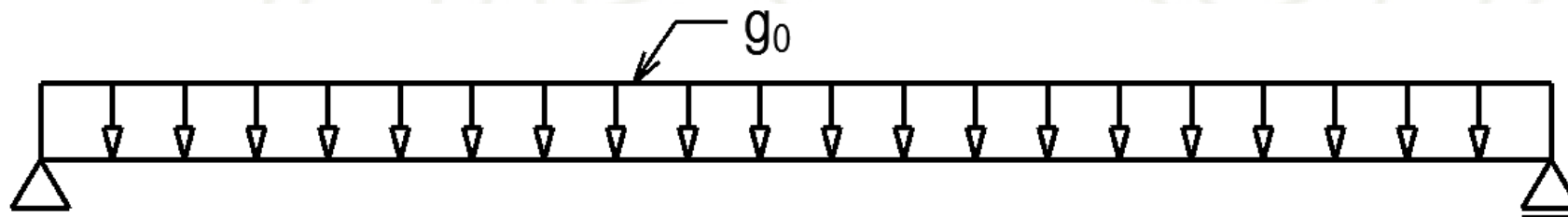
- Stádium předpínání

- po vnesení předpětí (transferu) působí:

- předpínací síla P_{m0} v čase t_0 s výstředností e_p



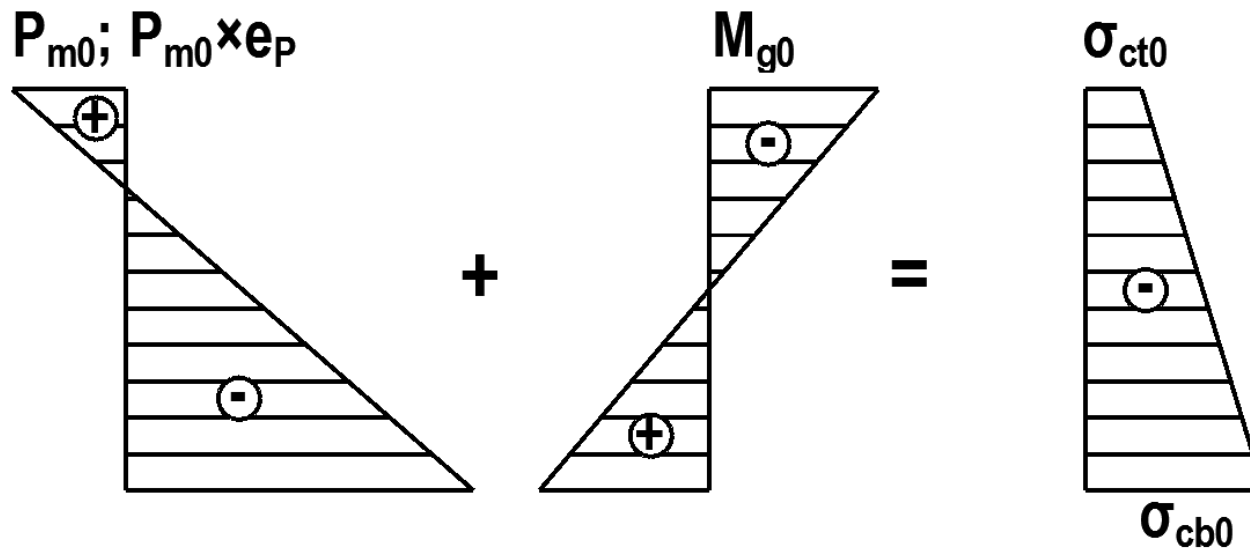
- většinou pouze vlastní tíha (třída betonu při transferu)



Vyšetřování stádií předpjatého prvku

- Stádium předpínání

ve středu nosníku



$\underline{\sigma}_{ct0}$ - při předpínání:

plném $|\sigma_{ct0}| \leq 0$

omezeném $\sigma_{ct0} \leq f_{ctm}(t_0)$

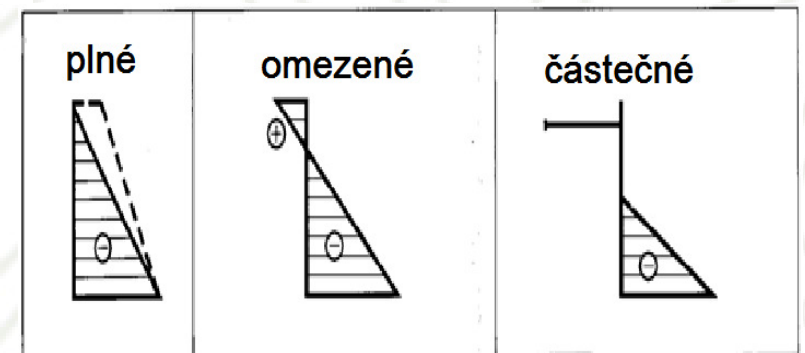
částečném $\sigma_{ct0} > f_{ctm}(t_0)$

$\underline{\sigma}_{cb0}$

$|\sigma_{cb0}| \leq 0,6 f_{ck}(t_0)$

při předpínání předem

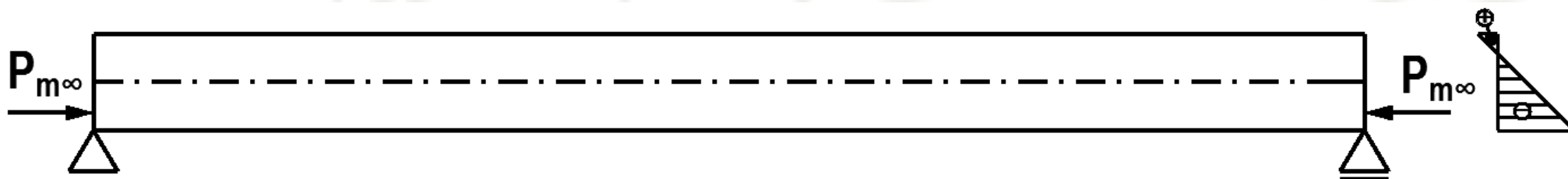
$|\sigma_{cb0}| \leq 0,7 f_{ck}(t_0)$



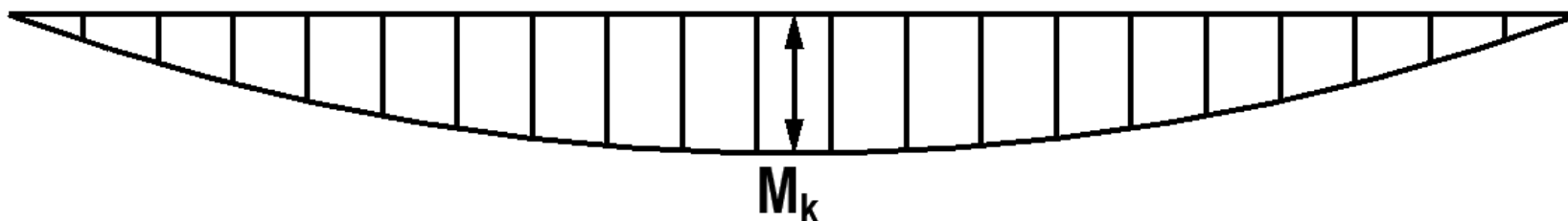
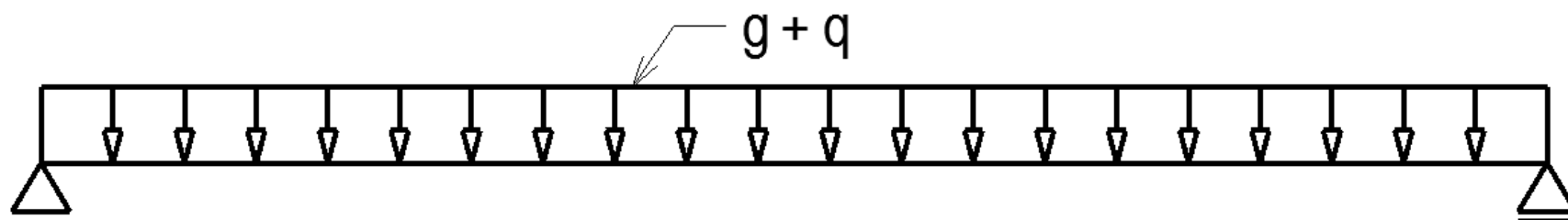
Stádia vyšetřování předpjatých prvků

• Stádium provozní

- Po všech ztrátách předpínací síly - působí:
 - předpínací síla $P_{m\infty}$ v okamžiku $t = \infty$ s výstředností e_p
 - $t \approx 500\,000$ hodin (57 let)



- provozní zatížení v předepsané kombinaci (např. $g+q$)

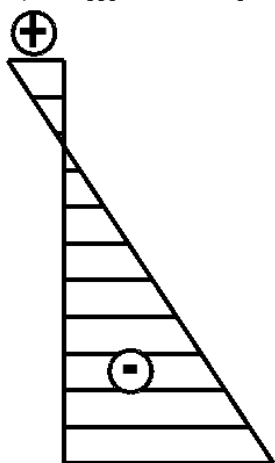


Stádia vyšetřování předpjatých prvků

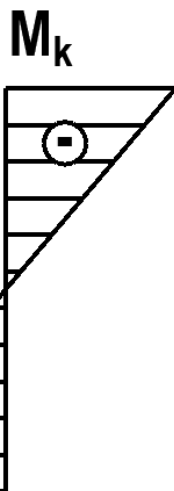
- Stádium provozní

ve středu nosníku

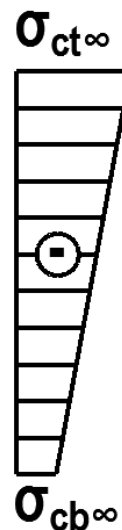
$P_{m\infty}; P_{m\infty} \times e_p$



+



=



$\underline{\sigma}_{ct\infty}$

$$|\sigma_{ct\infty}| \leq 0,6 f_{ck}$$

$\underline{\sigma}_{cb\infty}$

při předepnutí:

plném

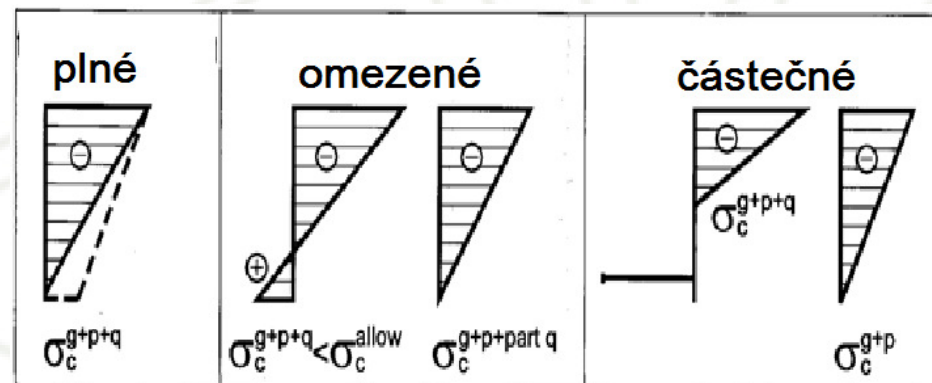
omezeném

částečném

$$|\sigma_{cb\infty}| \leq 0$$

$$\sigma_{cb\infty} \leq f_{ctm}$$

$$\sigma_{cb\infty} > f_{ctm}$$



Hodnoty předpínací síly

- Počáteční předpínací síla $P_{m0}(x)$ v okamžiku $t = t_0$
bezprostředně po přenesení předpětí do betonu (transferu)

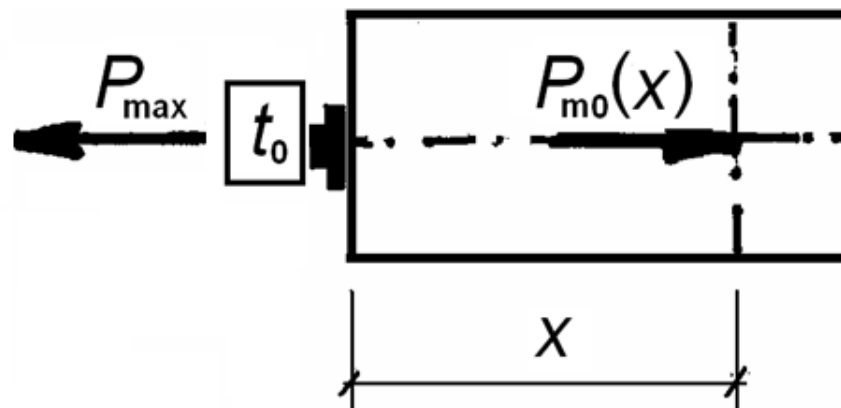
$$P_{m0}(x) = P_{max} - \sum \Delta P_i(x) \leq A_p \cdot \sigma_{pm0}(x)$$

$P_{max} \leq A_p \cdot \sigma_{pm,max}$... síla na předpínaném konci při předpínání

$\Delta P_i(x)$... krátkodobé ztráty předpětí

$$\sigma_{pm,max} \leq \min(0,8f_{pk}; 0,9f_{p0,1k})$$

$$\sigma_{pm0,max} \leq \min(0,75f_{pk}; 0,85f_{p0,1k})$$



Hodnoty předpínací síly

- Střední hodnota předpínací síly v čase t

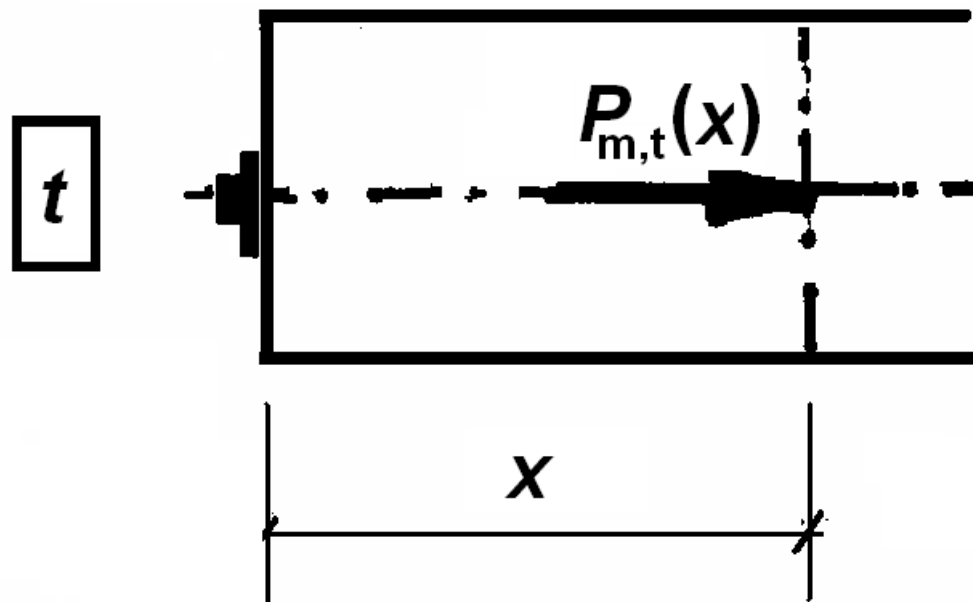
$$P_{m,t}(x) = P_{m0}(x) - A_p \Sigma |\sigma_{pi}(x)|$$

$P_{m0}(x)$... počáteční hodnota předpínací síly v okamžiku t_0

A_p ... průřezová plocha předpínací výztuže

$\Sigma |\sigma_{pi}(x)|$... součet dlouhodobých ztrát předpětí

$P_{m,t}(x)$



Hodnoty předpínací síly

- Účinek předpětí v MSP

odchyly možných změn předpětí se vyjádří pomocí dvou charakteristických hodnot předpínací síly:

- horní charakteristické hodnoty $P_{k,sup} = r_{sup} P_{m,t} (x)$
- dolní charakteristické hodnoty $P_{k,inf} = r_{inf} P_{m,t} (x)$
- pro předem napínané nebo nesoudržné předpínací vložky:
 $r_{sup} = 1,05, r_{inf} = 0,95$
- pro dodatečně napínané soudržné předpínací vložky:
 $r_{sup} = 1,10, r_{inf} = 0,90$
- při provádění přímého předpětí lze uvažovat:
 $r_{sup} = r_{inf} = 1,0$

Návrh předpínací síly a její výstřednosti

- Předpínací síla

Třeba stanovit předpínací sílu a její výstřednost - uvažujme staticky určitou konstrukci

MSP - stanovíme napětí v betonových vláknech

$$\sigma_c = \frac{P}{A} + \frac{Pe_p + M}{I_y} z$$

P ... síla v předpínací výztuži

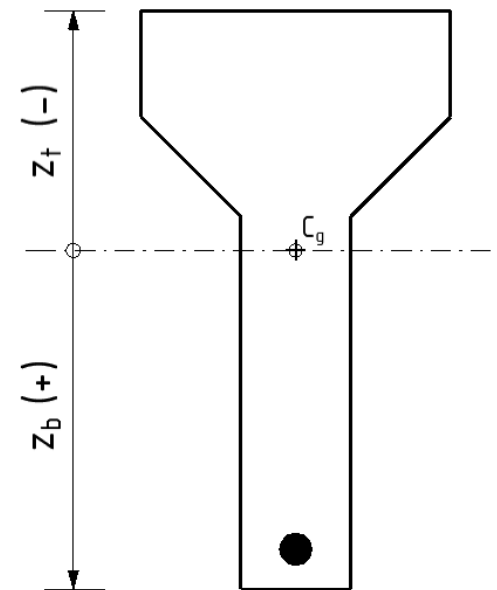
e_p ... výstřednost síly P (obdobně jako z)

A ... plocha průřezu

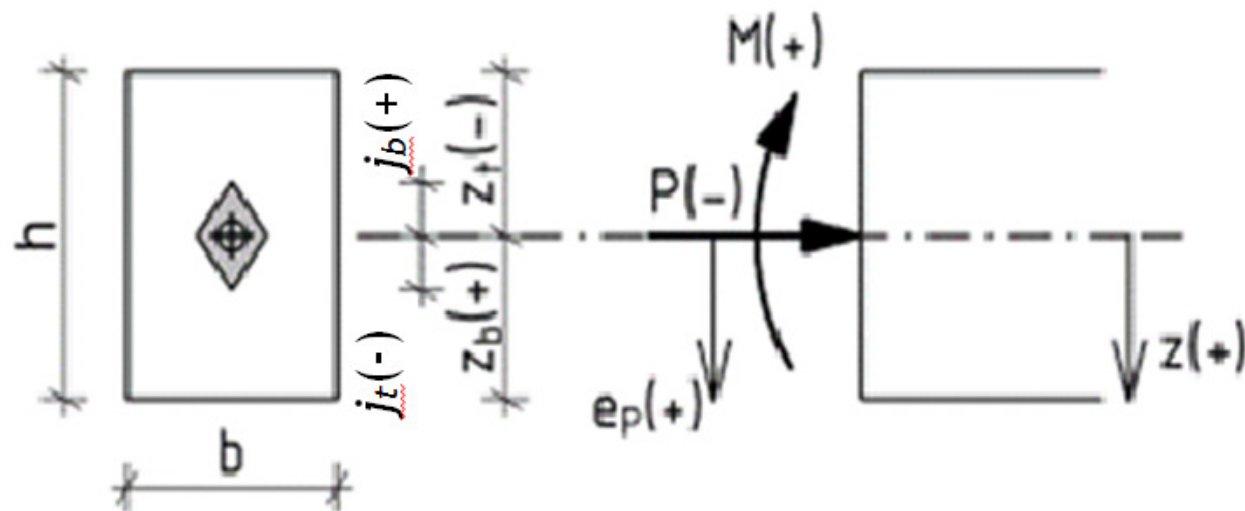
I_y ... moment setrvačnosti průřezu

M ... ohybový moment v MSÚ působící v průřezu

z ... vzdálenost těžiště průřezu od krajních betonových vláken
(+ ve směru k dolním vláknům průřezu)



Výpočet napětí v horních a dolních vláknech průřezu



$$W_t = \frac{I}{z_t} (-)$$

$$W_b = \frac{I}{z_b} (+)$$

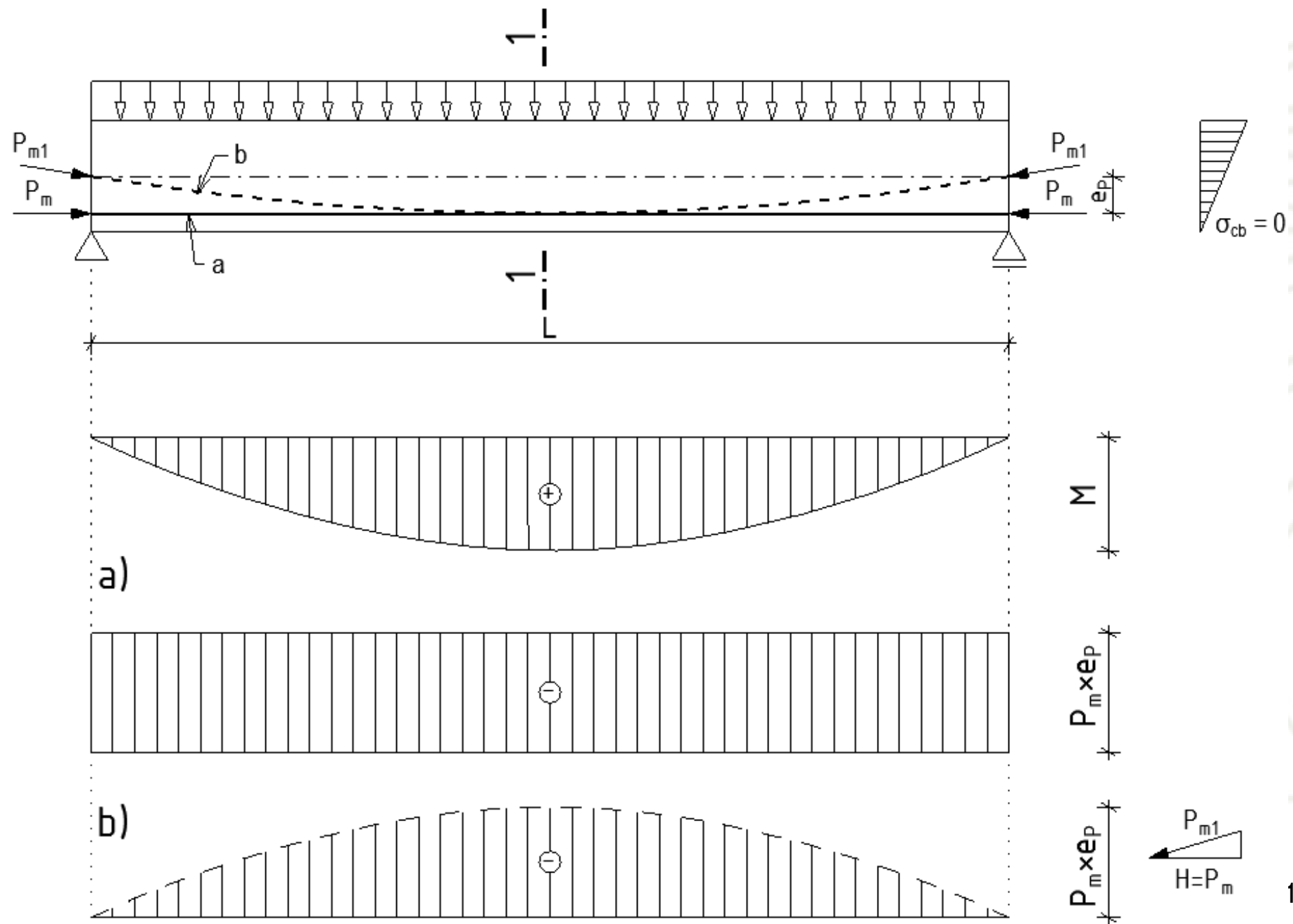
$$j_t = -\frac{I}{A \times z_t (-)} = \frac{W_t}{A} (-)$$

$$j_b = -\frac{I}{A \times z_b (+)} = \frac{W_b}{A} (+)$$

$$\begin{aligned} \sigma_b &= \frac{P}{A} + \frac{P \times e_p \times z_b}{I} + \frac{M \times z_b}{I} = \frac{P}{A} + \frac{P \times e_p}{W_b} + \frac{M}{W_b} = \frac{P}{W_b} \times \left(\frac{W_b}{A} + e_p \right) + \frac{M}{W_b} \\ &= \frac{P}{W_b} \times (j_b + e_p) + \frac{M}{W_b} \end{aligned}$$

$$\sigma_t = \frac{P}{A} + \frac{P \times e_p \times z_t}{I} + \frac{M \times z_t}{I} = \frac{P}{W_t} \times (j_t + e_p) + \frac{M}{W_t}$$

Návrh předpínací síly a její výstřednosti



Návrh předpínací síly a její výstřednosti

- Zjednodušený návrh předpínací síly P a její výstřednosti e_p

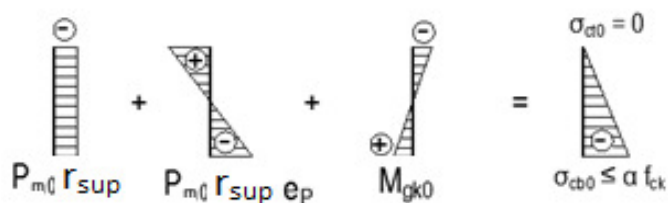
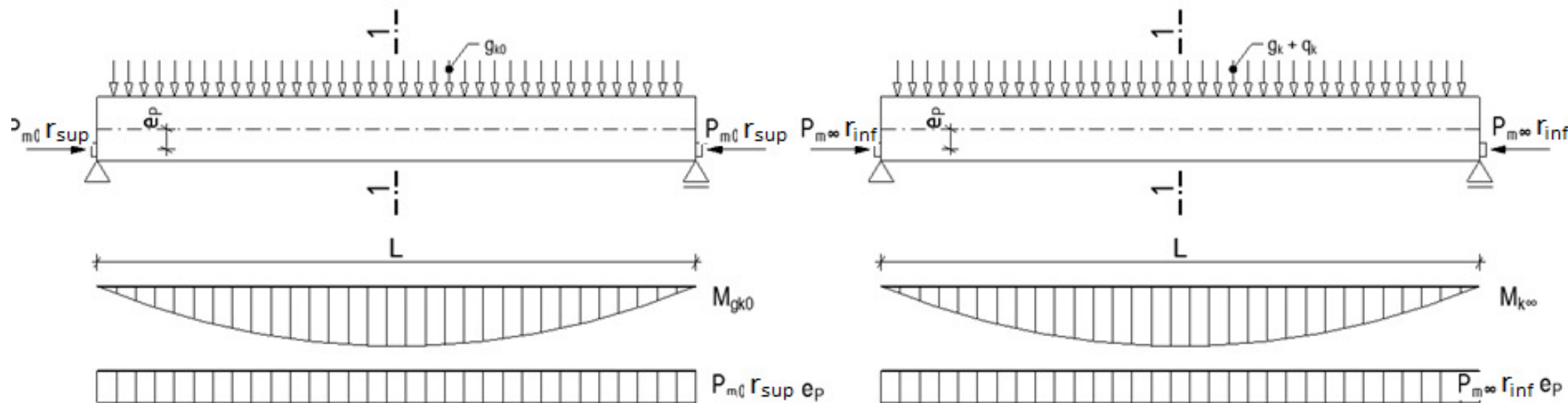
Plné předpětí - řez 1-1 prostý nosník rovnoměrně zatížený

Stádium předpínání $P_{m0} r_{sup}$

Stádium provozní $P_{m\infty} r_{inf}$

$$M_{gk0} = \frac{g_{k0} \times L^2}{8}$$

$$M_{k\infty} = \frac{(g_k + q_k) \times L^2}{8}$$



Návrh předpínací síly P a její výstřednosti e_p

podmínky pro napětí v betonu

Stadium předpínání

$$(B) \sigma_{ct0} = \frac{P_{m0} r_{sup}}{W_t} (j_t + e_p) + \frac{M_{gk0}}{W_t} = 0$$

$$\sigma_{cb0} = \left| \frac{P_{m0} r_{sup}}{W_b} (j_b + e_p) + \frac{M_{gk0}}{W_b} \right| \leq \alpha_P f_{ck,P}$$

Stadium provozní

$$\sigma_{ct\infty} = \left| \frac{P_{m\infty} r_{inf}}{W_t} (j_t + e_p) + \frac{M_{k\infty}}{W_t} \right| \leq \alpha_S f_{ck}$$

$$(A) \sigma_{cb\infty} = \frac{P_{m\infty} r_{inf}}{W_b} (j_b + e_p) + \frac{M_{k\infty}}{W_b} = 0$$

z (A):

$$P_{m\infty} = - \frac{M_{k\infty}}{(j_b + e_p) r_{inf}}; P_{m\infty} \cong 0,8 P_{m0}$$

$$j_b + e_p = - \frac{M_{k\infty}}{0,8 P_{m0} r_{inf}} \quad (1)$$

z (B):

$$j_t + e_p = - \frac{M_{gk0}}{P_{m0} r_{sup}} \quad (2)$$

Návrh předpínací síly P a její výstřednosti e_p

z (A):

$$j_b + e_p = -\frac{M_{k\infty}}{0,8P_{m0}r_{inf}} \quad (1)$$

z (B):

$$j_t + e_p = -\frac{M_{gk0}}{P_{m0}r_{sup}} \quad (2)$$

$$\frac{j_t + e_p}{j_b + e_p} = \frac{\frac{M_{gk0}}{P_{m0}r_{sup}}}{\frac{M_{k\infty}}{0,8P_{m0}r_{inf}}} = 0,8 \frac{M_{gk0}r_{inf}}{M_{k\infty}r_{sup}} ; \quad K = 0,8 \frac{M_{gk0}r_{inf}}{M_{k\infty}r_{sup}} \quad (3)$$

$$e_p = \frac{-j_t + K j_b}{1 - K}$$

z (1):

$$j_b + e_p = -\frac{M_{k\infty}}{0,8P_{m0}r_{inf}} \rightarrow \underline{\underline{P_{m0} = -\frac{M_{k\infty}}{0,8(j_b + e_p)r_{inf}}}} \quad P_{m0} = 0,95 P_{max}$$

$$A_P \cong \frac{P_{m0}}{0,95\sigma_{p,max}}$$

Návrh předpínací síly P a její výstřednosti e_p

Předpokládáme:

a) $P_{m\infty} = 0,8 P_{m0}$ (20% dlouhodobé ztráty)

b) MSP: limitní hodnoty napětí betonu, např. pro předem předpjatý prvek

stadium předpínání: omezené předpětí

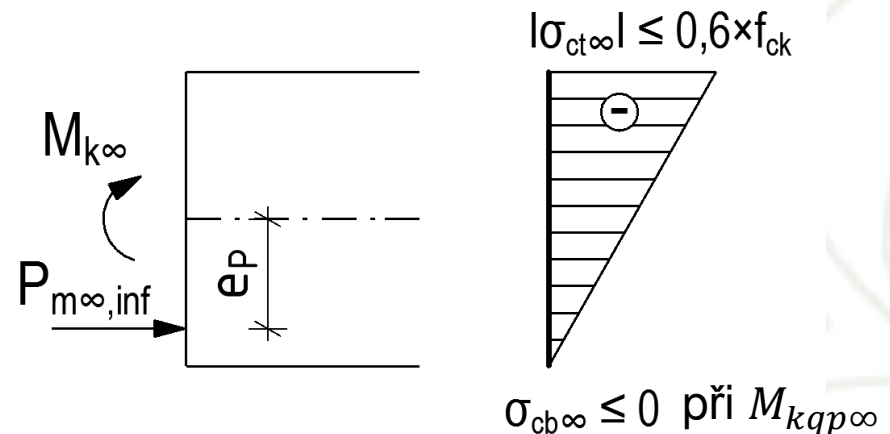
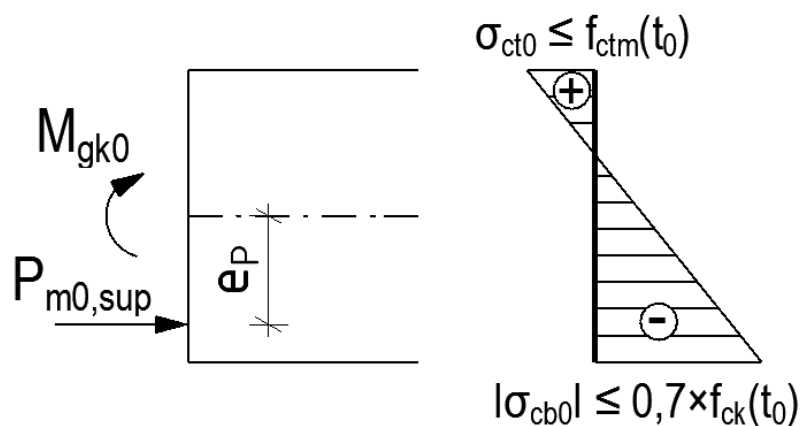
provozní stadium: plné předpětí

- horní betonová vlákna $\sigma_{ct0} \leq f_{ctm}(t_0)$; $|\sigma_{ct\infty}| \leq 0,6 f_{ck}$; $|\sigma_{cb\infty}| \leq 0$ při $M_{kqp\infty}$

- dolní betonová vlákna $|\sigma_{cb0}| \leq 0,7 f_{ck}(t_0)$; $\sigma_{cb\infty} \leq 0$

Stadium předpínání

Stadium provozní



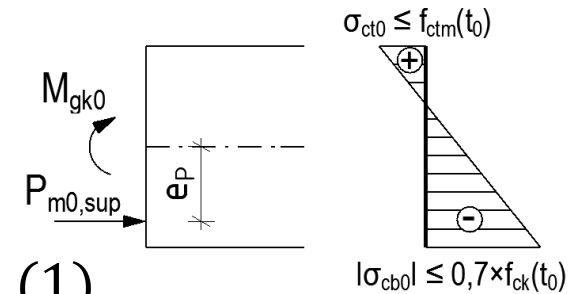
c) MSÚ: požadovaná kombinace zatěžovacích účinků

Podmínky pro mezní hodnoty napětí v krajních vláknech betonu

stadium předpínání: omezené předpětí

$$\sigma_{ct0} = \frac{-P_{m0,sup}}{A} + \frac{-P_{m0,sup} e_P + M_{gk0}}{I_y} z_t \leq f_{ctm}(t_0) \quad (1)$$

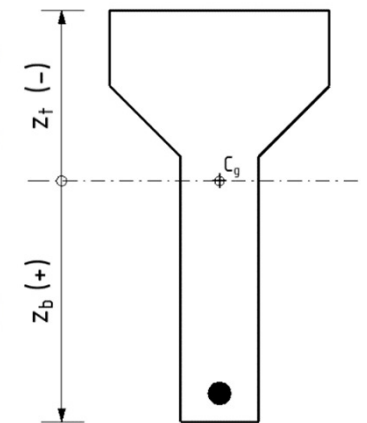
$$\sigma_{cb0} = \frac{-P_{m0,sup}}{A} + \frac{-P_{m0,sup} e_P + M_{gk0}}{I_y} z_b \leq -0,7 f_{ck}(t_0) \quad (2)$$



provozní stadium: plné předpětí

$$\sigma_{ct\infty} = \frac{-P_{m\infty,inf}}{A} + \frac{-P_{m\infty,inf} e_P + M_{k\infty}}{I_y} z_t \geq -0,6 f_{ck} \quad (3)$$

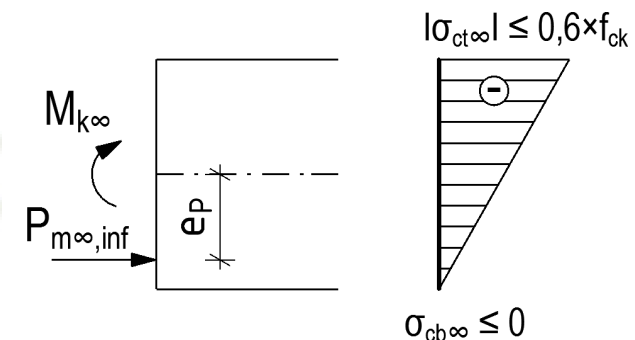
$$\sigma_{cb\infty} = \frac{-P_{m\infty,inf}}{A} + \frac{-P_{m\infty,inf} e_P + M_{kqp\infty}}{I_y} z_b \leq 0 \quad (4)$$



kde

$$P_{m0,sup} = r_{sup} P_{m0}$$

$$P_{m\infty,inf} = P_{m\infty} = r_{inf} 0,8 P_{m0}$$



Podmínky pro mezní hodnoty napětí v krajních vláknech betonu

Z nerovnosti (1) obdržíme

$$\frac{r_{sup}}{A} + \frac{r_{sup} e_P z_t}{I_y} \geq \left(-f_{ctm}(t_0) + \frac{M_{gk0} z_t}{I_y} \right) \frac{1}{P_{m0}}$$

vztah lze graficky znázornit přímkou – osy: e ; $1/P_{m0}$; body, kde přímky protínají osu e obdržíme za předpokladu $(1/P_{m0})=0$

$$e_1 = -\frac{I_y}{A z_t}; e_2 = -\frac{I_y}{A z_b}; e_3 = -\frac{I_y}{A z_t}; e_4 = -\frac{I_y}{A z_b}$$

$$e_1 = e_3; e_2 = e_4$$

za předpokladu $e = 0$ obdržíme body, kde přímky protínají osu $(1/P_{m0})$

$$\frac{1}{P_{m01}} = \frac{r_{sup}}{A} \left(\frac{1}{-f_{ctm}(t_0) + \frac{M_{g0} z_t}{I_y}} \right); \quad \frac{1}{P_{m02}} = \frac{r_{sup}}{A} \left(\frac{1}{0,7 f_{ck}(t_0) + \frac{M_{g0} z_b}{I_y}} \right)$$

$$\frac{1}{P_{m03}} = \frac{0,8 r_{inf}}{A} \left(\frac{1}{0,6 f_{ck} + \frac{M_{k\infty} z_t}{I_y}} \right); \quad \frac{1}{P_{m04}} = \frac{0,8 r_{inf}}{A} \left(\frac{1}{\frac{M_{k\infty} z_b}{I_y}} \right)$$

Podmínky pro mezní hodnoty napětí v krajních vláknech betonu

Z nerovností (1) až (4) můžeme obdržet možná řešení pro předpínací síly s jejich výstředností.

Každá z nerovností reprezentuje lineární vztah pro e a $1/P_{m0}$.

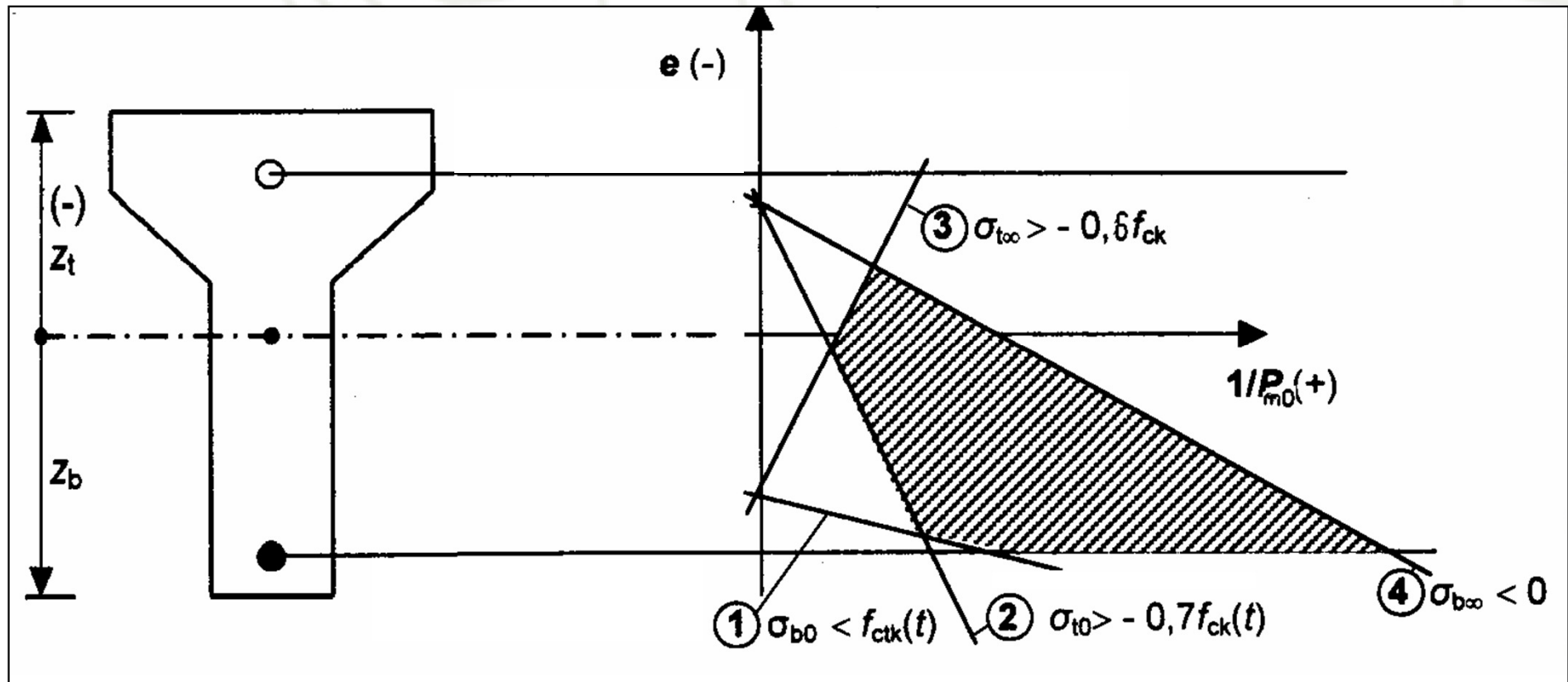


Diagram $(1/P_{m0}, e)$ se čtyřmi přímkami určuje soubor bodů bezpečně splňujících limitní hodnoty v betonových vláknech

Omezující podmínky:

$$\sigma_{ct} = \frac{(-)P_{sup}}{A_c} + \frac{(-)P_{sup}(+)e_p + M_{g1k,min}}{(-)W_{ct}} \leq (+)f_{ctm}(t_0) \quad (1)$$

$$\sigma_{cb} = \frac{(-)P_{sup}}{A_c} + \frac{(-)P_{sup}(+)e_p + M_{g1k,min}}{(+)W_{cb}} \geq 0,7(-)f_{ck}(t_0) \quad (2)$$

$$\sigma_{ct} = \frac{(-)P_{inf}}{A_c} + \frac{P_{inf}(+)e_p + M_{Ek,max}}{(-)W_{ct}} \leq 0,6(-)f_{ck} \quad (3)$$

$$\sigma_{cb} = \frac{P_{inf}}{A_c} + \frac{(-)P_{inf}(+)e_p + M_{Eqp}}{(+)W_{cb}} \geq 0 \quad (4)$$

kde $P_{sup} = r_{sup} P_{m0} \cong 1,05 P_{m0}$

$P_{inf} = r_{inf} \lambda P_{m0} \cong 0,95 \cdot 0,8 P_{m0}$

Každá z těchto nerovností představuje lineální vztah pro e a $1/P_{m0}$

Z předchozích vztahů po úpravě obdržíme:

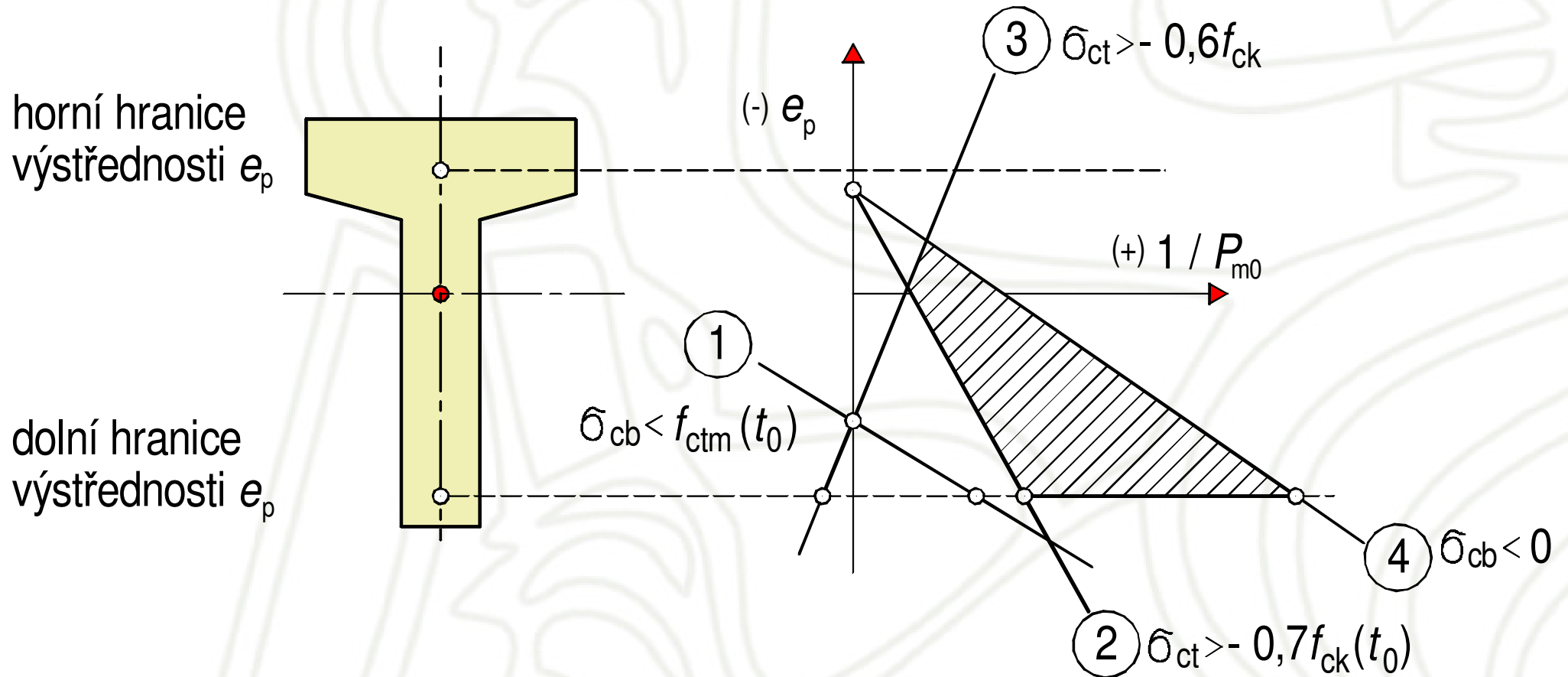
$$\frac{1}{P_{m0}} \geq r_{sup} \left(\frac{\frac{1}{A_c} + \frac{(+)\epsilon_p}{(-)W_{ct}}}{(-)f_{ctm}(t_0) + \frac{M_{g1k,min}}{(-)W_{ct}}} \right) \quad (1)$$

$$\frac{1}{P_{m0}} \geq r_{sup} \left(\frac{\frac{1}{A_c} + \frac{(+)\epsilon_p}{(+)\epsilon_p W_{cb}}}{(+)\epsilon_p f_{ck}(t_0) + \frac{M_{g1k,min}}{(+)\epsilon_p W_{cb}}} \right) \quad (2)$$

$$\frac{1}{P_{m0}} \geq r_{inf} 0,8 \left(\frac{\frac{1}{A_c} + \frac{(+)\epsilon_p}{(-)W_{ct}}}{(+)\epsilon_p f_{ck} + \frac{M_{Ek}}{(-)W_{ct}}} \right) \quad (3)$$

$$\frac{1}{P_{m0}} \geq r_{inf} 0,8 \left(\frac{\frac{1}{A_c} + \frac{(+)\epsilon_p}{(+)\epsilon_p W_{cb}}}{0 + \frac{M_{Eqp}}{(+)\epsilon_p W_{cb}}} \right) \quad (4)$$

Obdobně lze postupovat pro průřez poblíže podpory



Příklad

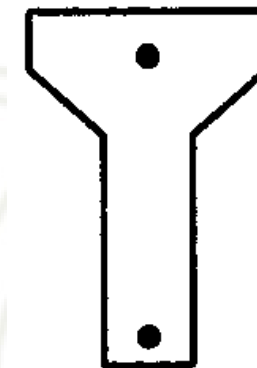
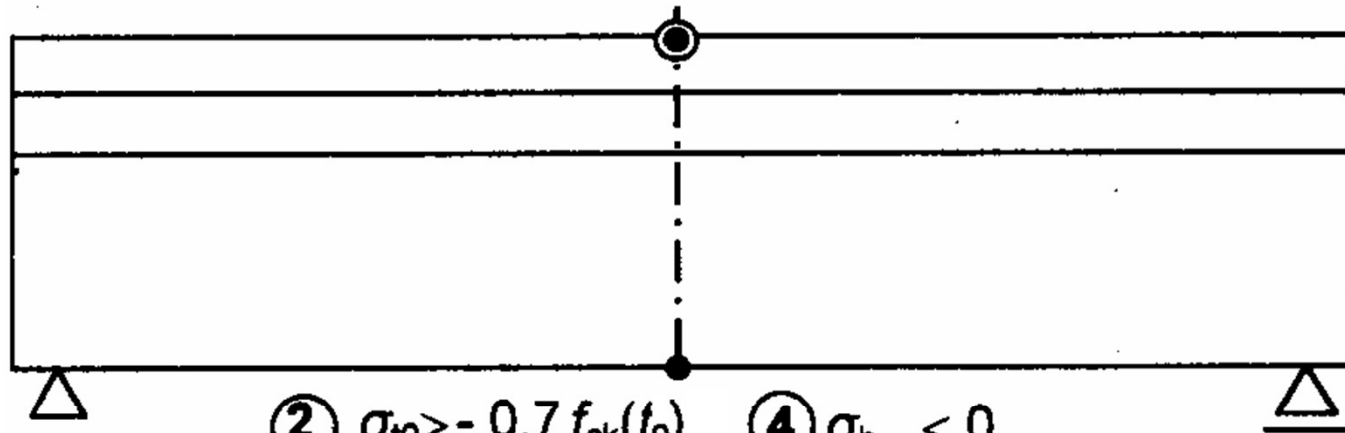
Předem předpjatý panel TT průřezu

C40/50; $A=0,325 \text{ m}^2$; $I= 0,0173 \text{ m}^4$; $z_t=-0,229 \text{ m}$; $z_b=0,511 \text{ m}$

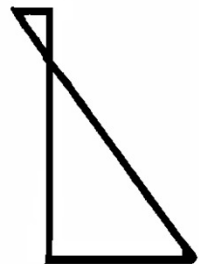
předpětí: C35/45; $0,7 f_{ck}(t_0) \cong 25 \text{ Mpa}$, $f_{ctm}(t_0) \cong 3,1 \text{ Mpa}$

$M_{g0}=0,329 \text{ MNm}$; $M_k=0,565 \text{ MNm}$; $M_{qp}=0,413 \text{ MNm}$ ($f_{ctm}=0$)

① $\sigma_{t0} < f_{ctk}(t_0)$ ③ $\sigma_{t\infty} > -0,6f_{ck}$



② $\sigma_{t0} > -0,7 f_{ck}(t_0)$
 $\sigma_{ct0} \leq f_{ctm}(t_0)$

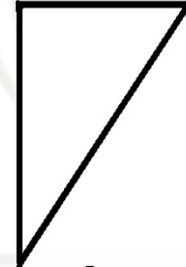


$P_{m0,sup}$; M_{g0}

$|\sigma_{cb0}| \leq 0,7 f_{ck}(t_0)$

④ $\sigma_{b\infty} < 0$

$|\sigma_{ct\infty}| \leq 0,6 f_{ck}$



$\sigma_{cb\infty} \leq 0$

$P_{m\infty,inf}$; M_{kqp}

$P_{m\infty,inf}$; M_k

Příklad

- **Body, kde přímky protínají osu e, obdržíme za předpokladu $(1/P_{m0})=0$**

$$e_1 \leq -\frac{I_y}{A z_t} = -\frac{0,0173}{0,325 (-0,229)} = 0,232$$

$$e_2 \leq -\frac{I_y}{A z_b} = -\frac{0,0173}{0,325 \times 0,511} = -0,104$$

$$e_3 \geq -\frac{I_y}{A z_t} = -\frac{0,0173}{0,325 (-0,229)} = 0,232$$

$$e_4 \geq -\frac{I_y}{A z_b} = -\frac{0,0173}{0,325 \times 0,511} = -0,104$$

Příklad

- Za předpokladu $e_p=0$ obdržíme body, kde přímky protínají osu ($1/P_{m0}$)

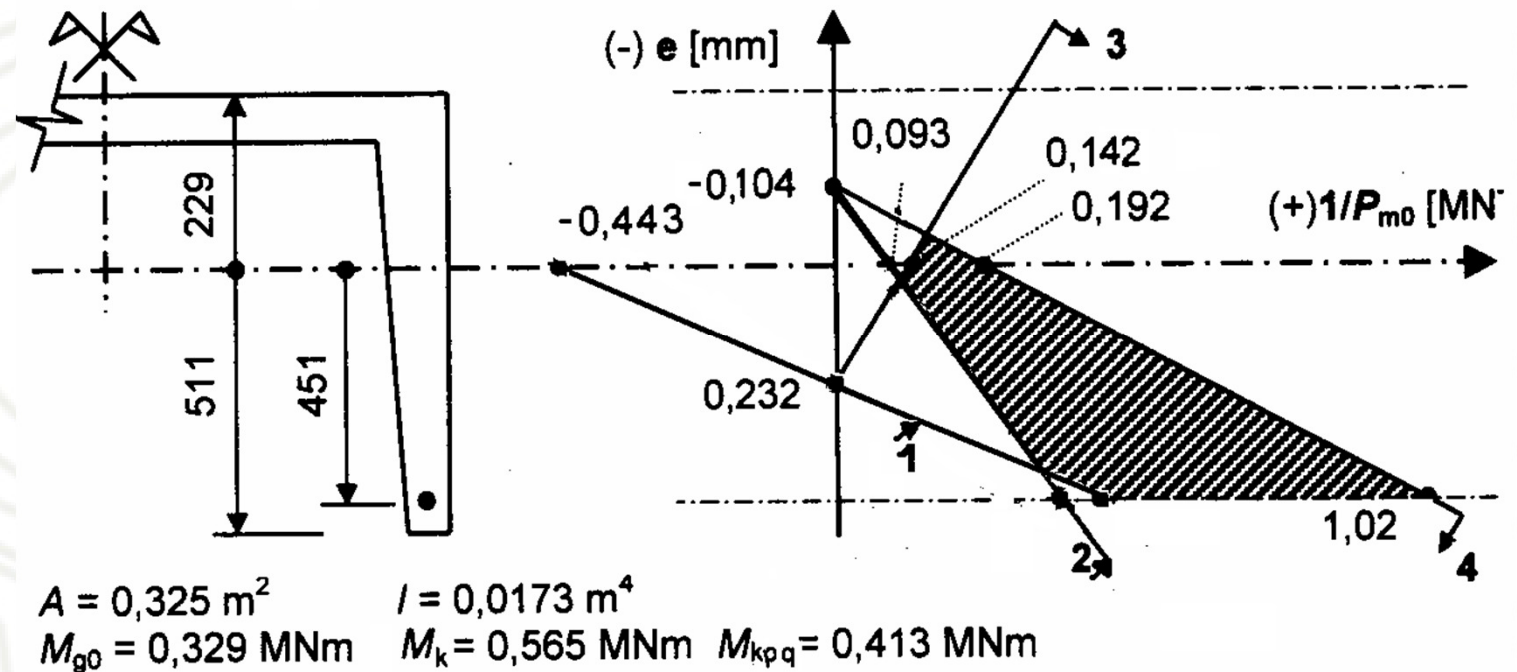
$$\frac{1}{P_{m01}} = \frac{r_{sup}}{A} \left(\frac{1}{-f_{ctm}(t_0) + \frac{M_{g0} z_t}{I_y}} \right) = \frac{1,05}{0,325} \left(\frac{1}{-3,1 + \frac{0,329 \times (-0,229)}{0,0173}} \right) = -0,433 \text{ MN}$$

$$\frac{1}{P_{m02}} = \frac{r_{sup}}{A} \left(\frac{1}{0,7f_{ck}(t_0) + \frac{M_{g0} z_b}{I_y}} \right) = \frac{1,05}{0,325} \left(\frac{1}{25 + \frac{0,329 \times 0,511}{0,0173}} \right) = 0,093 \text{ MN}$$

$$\frac{1}{P_{m03}} = \frac{0,8r_{inf}}{A} \left(\frac{1}{0,6f_{ck}(t_0) + \frac{M_k z_t}{I_y}} \right) = \frac{0,8 \times 0,95}{0,325} \left(\frac{1}{24 + \frac{0,565 \times (-0,229)}{0,0173}} \right) = 0,142 \text{ MN}$$

$$\frac{1}{P_{m04}} = \frac{0,8r_{inf}}{A} \left(\frac{1}{\frac{M_{qp} z_b}{I_y}} \right) = \frac{0,8 \times 0,95}{0,325} \left(\frac{1}{\frac{0,413 \times 0,511}{0,0173}} \right) = 0,192 \text{ MN}$$

Příklad



Pro zvolenou výstřednoste = 451 mm obdržíme minimální sílu ze vztahu $1/P_{m0} = 1,02 \Rightarrow P_{m0} = 0,98 \text{ MN}$.

Předpokládáme-li lano \emptyset Lp 15,5: $A_{p1} = 0,000141 \text{ m}^2$, $\sigma_{pm0} = 1350 \text{ MPa}$;

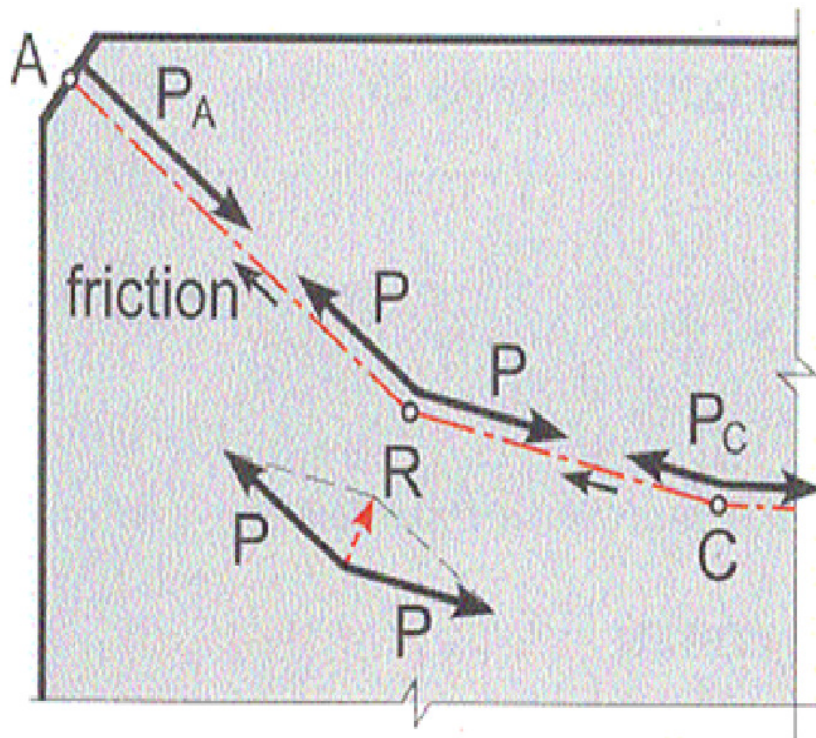
$P_{m01} = 190 \text{ MPa}$, $n = 0,98/0,19 = 5,1$; $\Rightarrow 6 \emptyset$ Lp 15,5;

$P_{m0} = 6 \cdot 0,000141 \cdot 1350 = 1,142 \text{ MN}$, $1/P_{m0} = 1/1,142 = 0,876$ leží v intervalu $\langle 0,496; 1,02 \rangle \Rightarrow \text{OK!}$

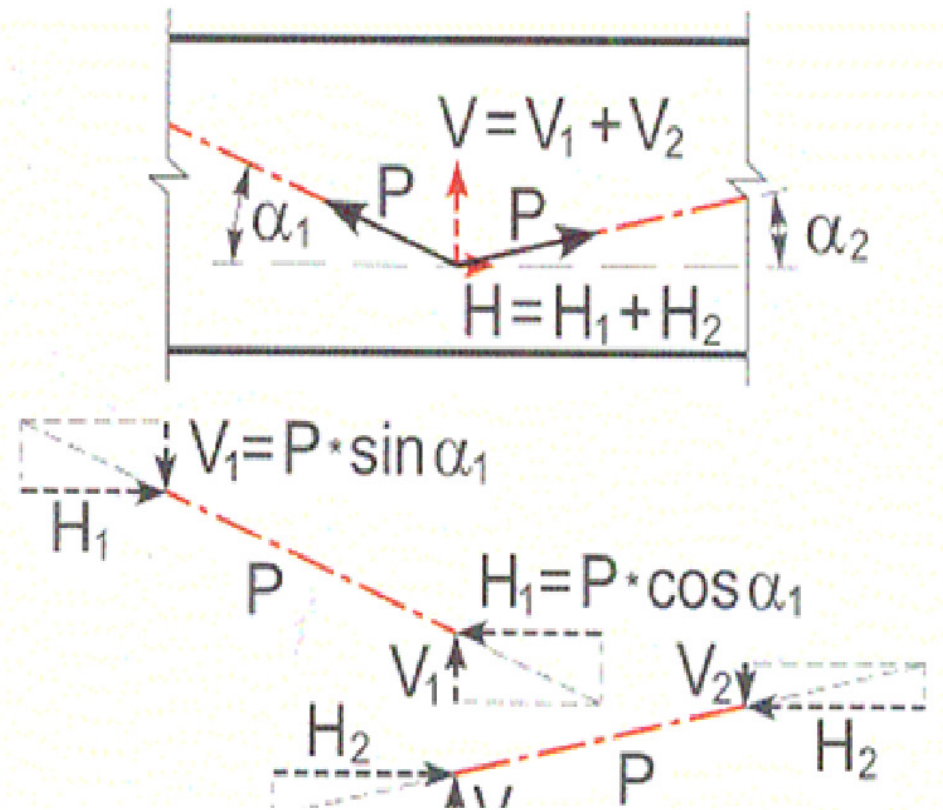
Kontrola napětí v dolních vláknech:

$$\begin{aligned} \sigma_{cb,\infty} &= \frac{-P_{m\infty,\text{inf}}}{A} + \frac{-P_{m\infty,\text{inf}} e_p + M_{qp}}{I_y} z_b = \\ &= \frac{-1,142 \times 0,8 \times 0,95}{0,325} + \frac{-1,142 \times 0,8 \times 0,95 \times 0,451 + 0,413}{0,173} \cdot 0,511 \\ &= -2 \leq 0 \end{aligned}$$

Zakřivená předpínací výztuž



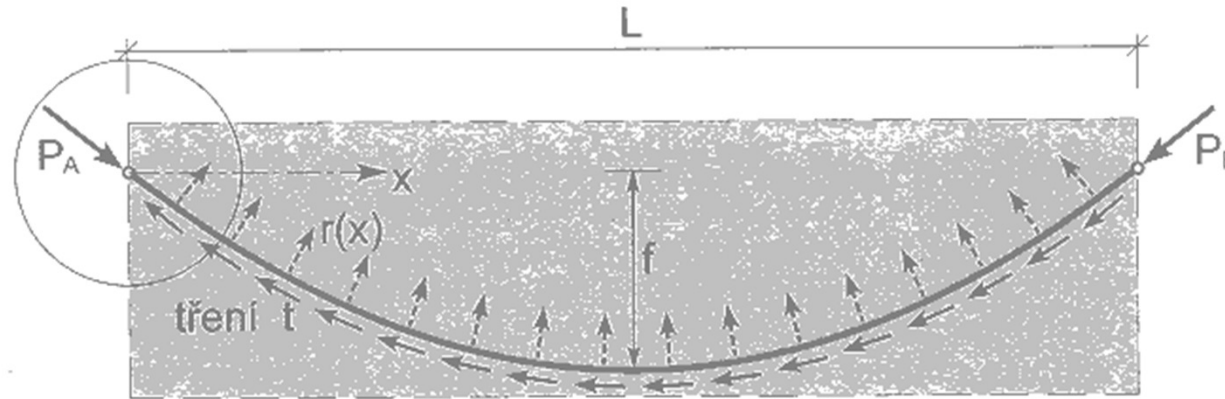
(a) radiální síly



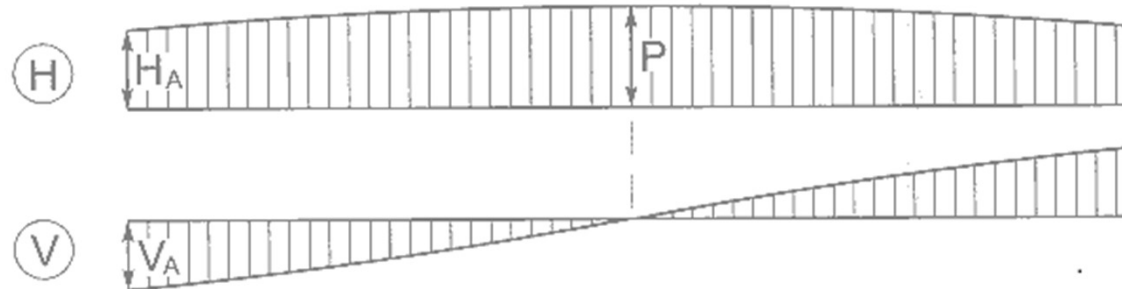
(b)

Síly vyvozené působením předpětí na beton

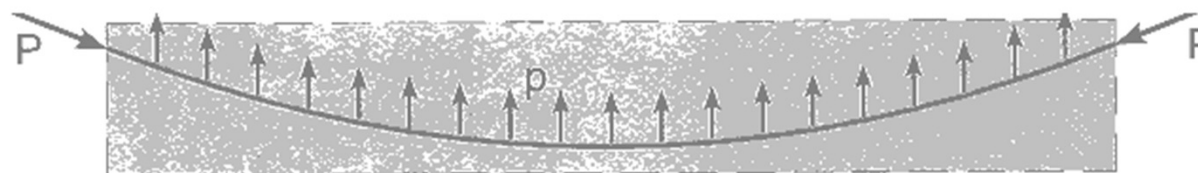
Zakřivená předpínací výztuž



a) skutečné silové působení předpjeté výztuže na beton



b) průběh vodorovné s vodorovné složky předpínací síly pro $P = \text{konst}$

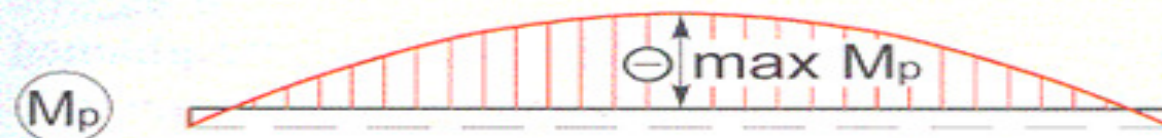
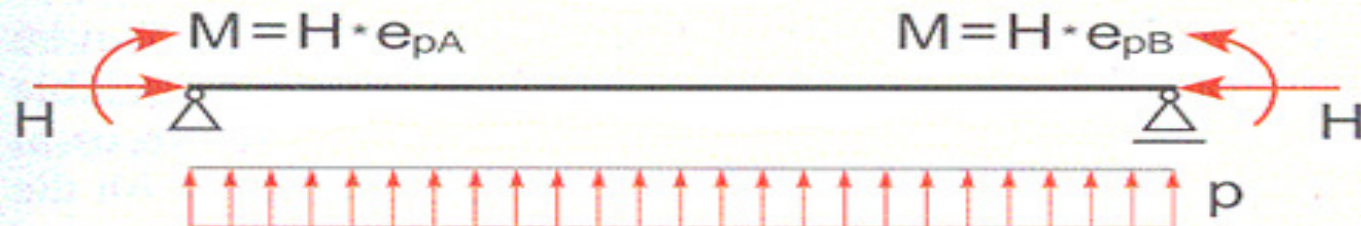
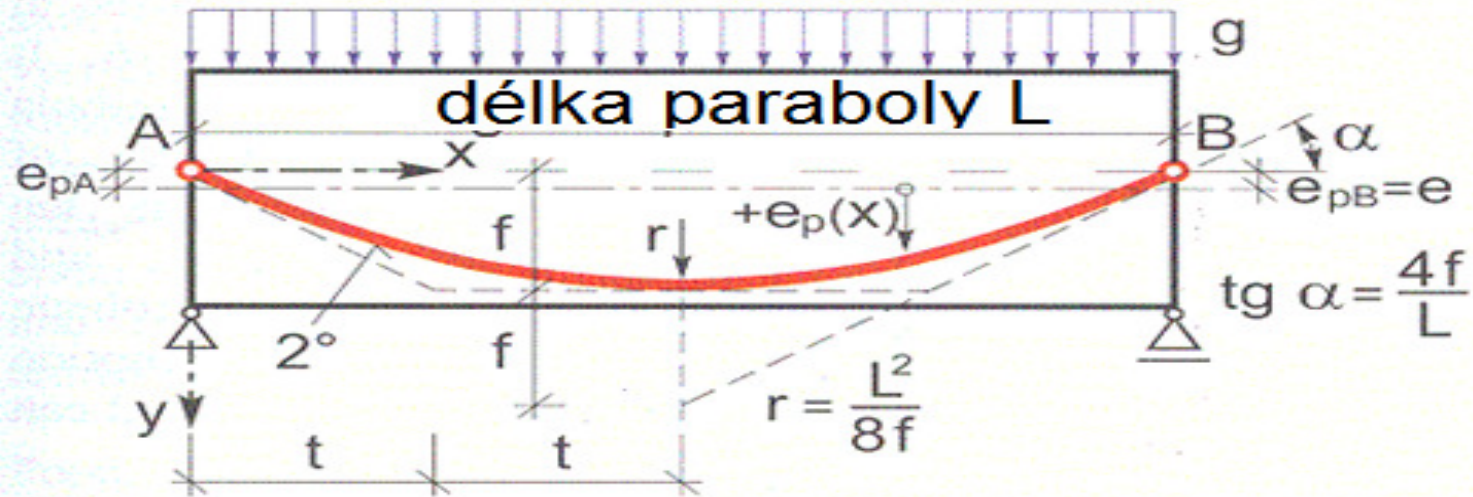


c) ekvival. zatížení pro $\frac{f}{L} \leq \frac{1}{15}$ ($H = P = \text{konst}$)

Ekvivalentní zatížení od předpětí pro parabolický tvar kabelu

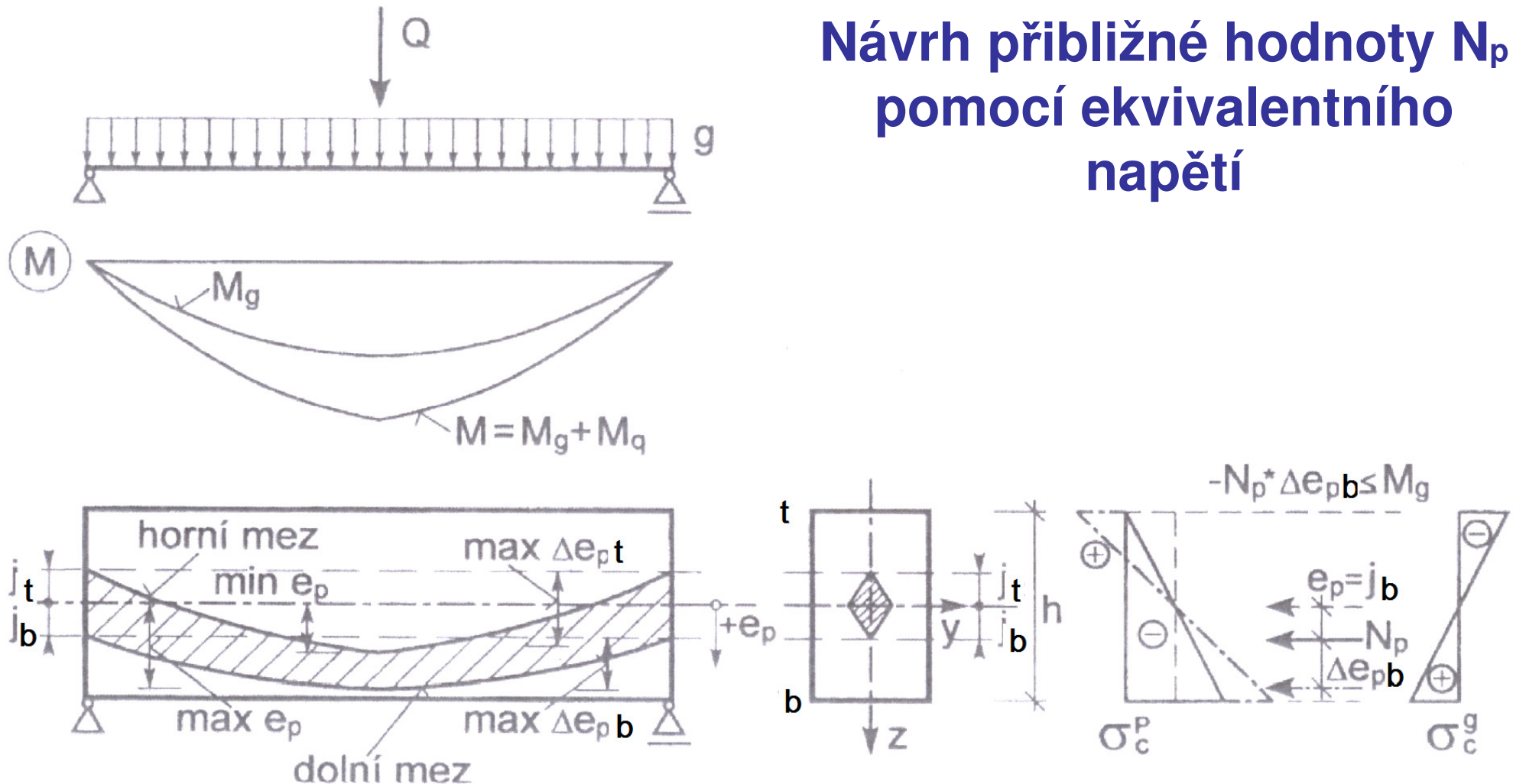
Nosník s parabolickým kabelem

$$p = -\frac{d^2 M_p(x)}{dx^2} = -H \frac{d^2 e_p(x)}{dx^2} = H \frac{8f}{L^2}$$

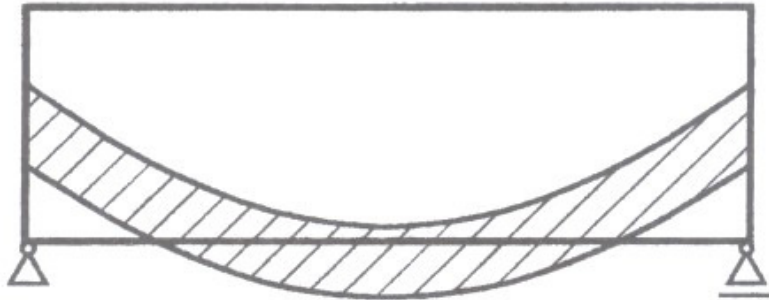


Přípustná zóna umístění těžiště předpínací výztuže

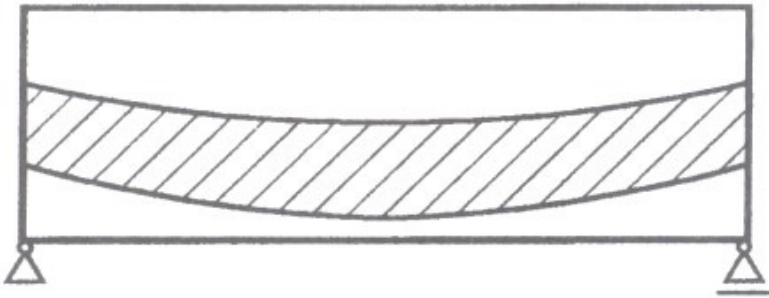
Návrh přibližné hodnoty N_p pomocí ekvivalentního napětí



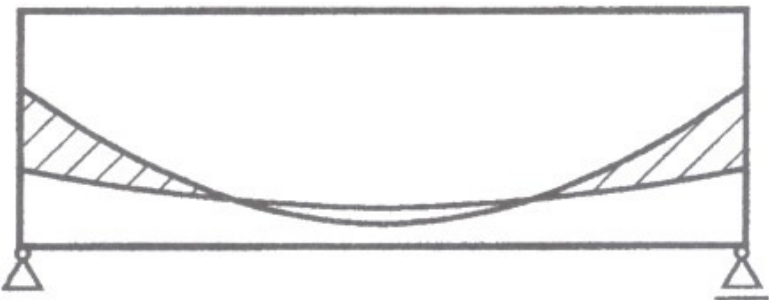
Nežádoucí polohy přípustné zóny



(a) horní mez se blíží dolním vláknům



(b) horní mez se vzdaluje dolním vláknům



(c) horní a dolní mez se kříží

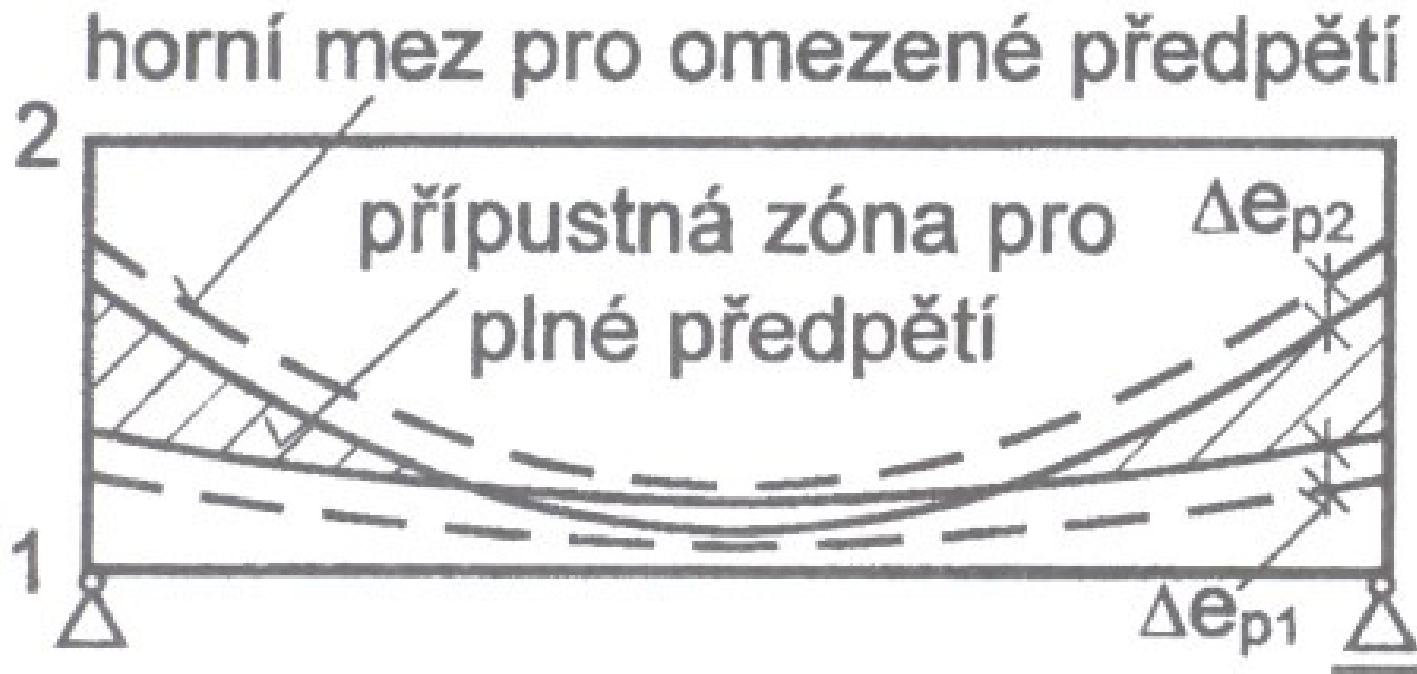
a) - zvětšit předpínací sílu, nebo
- zvětšit výšku nosníku

b) - zmenšit předpínací sílu, nebo
- zmenšit výšku nosníku

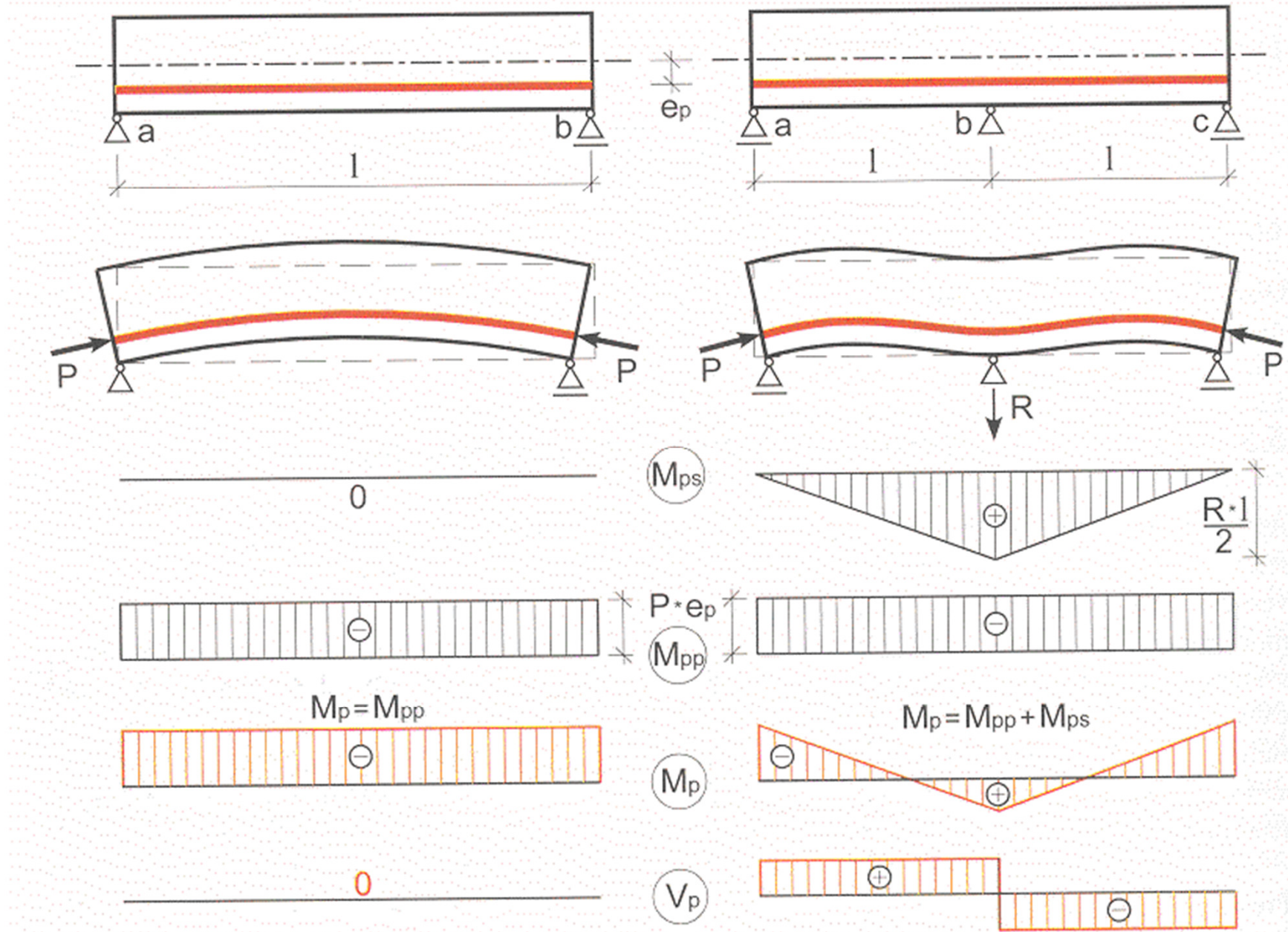
c) ve střední zóně není k
dispozici žádná přípustná zóna
polohy těžiště kabelu, proto
třeba:

- zvětšit předpínací sílu, nebo
- zvětšit výšku nosníku

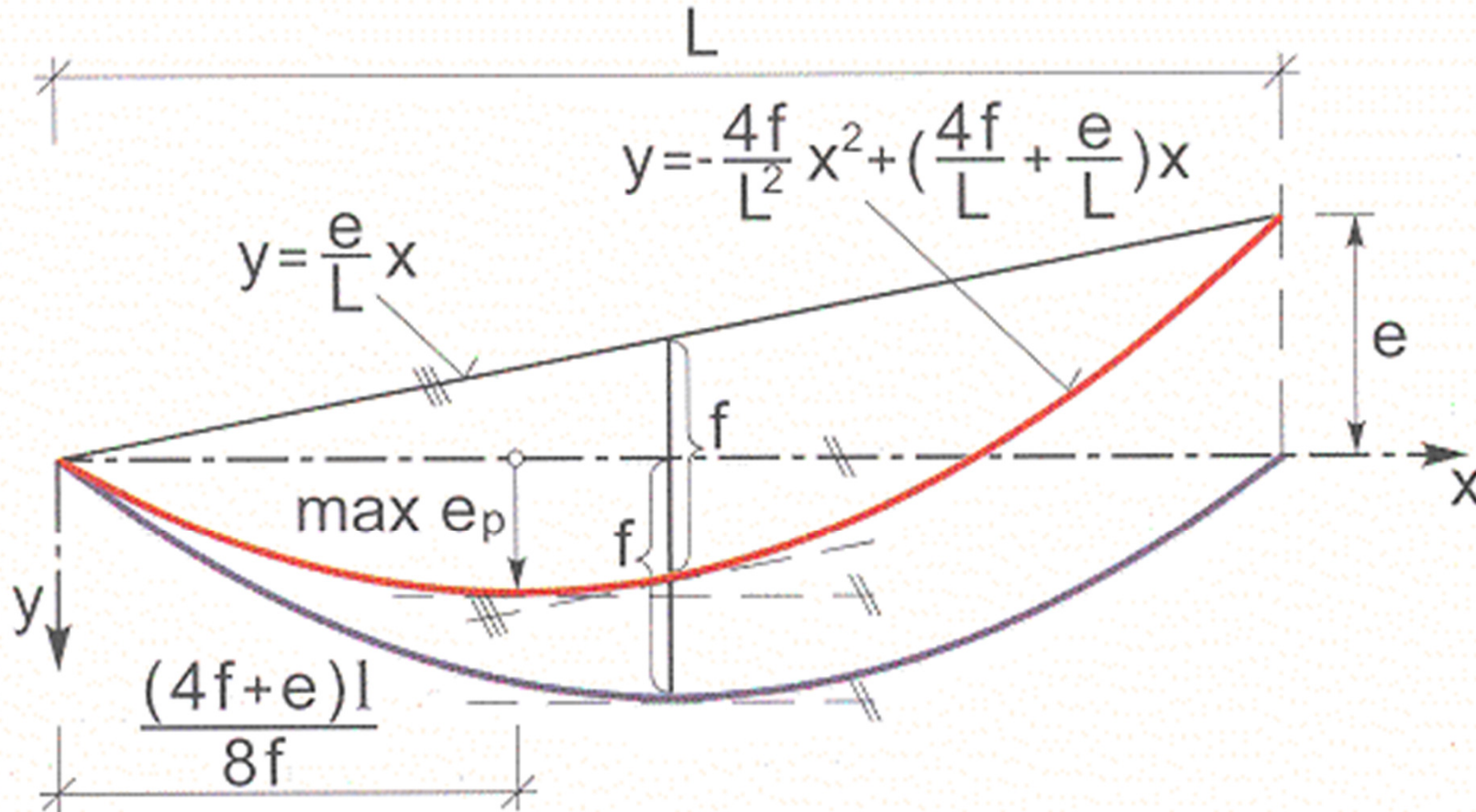
Přípustná zóna pro plné a omezené předpětí



Statically indeterminate effects of prestressing



Geometrické vlastnosti parabolického kabelu





Děkuji za pozornost!

Seznam použitých zdrojů

Procházka j, a kol.: Navrhování betonových konstrukcí podle norem ČSN EN 1992 (Eurokódu 2), ČBS Praha, 2010

Navrátil, J.: Předpjaté betonové konstrukce - Akademické nakladatelství CERM. S.r.o., 2004

Procházka J,: Betonové konstrukce. Předpjatý beton. Konstrukce pozemních a inženýrských staveb - Ediční středisko ČVUT Praha, 1990

Bilčík, J., Fillo, L.; Benko Vl., Halvonik, J.; Navrhování betonových konstrukcí podle Eurokódu 2, Vydavatelstvo STU v Bratislavě, 2008

© Jaroslav Procházka, Radek Štefan 2015-2017

Poslední úprava: 26. 10. 2017

Připomínky a návrhy na vylepšení prezentace zasílejte prosím na adresu radek.stefan@fsv.cvut.cz

Upozornění:

Materiál slouží pouze pro studijní a výukové účely v rámci předmětů vyučovaných na Fakultě stavební ČVUT v Praze!